

## 適応的に $\ell$ を変化させる BiCGStab( $\ell$ ) 法

森屋 健太郎<sup>†</sup> 野寺 隆<sup>†</sup>

BiCGStab( $\ell$ ) 法は、非対称の大型疎行列を係数とする連立 1 次方程式を解く算法の一つである。これは、BiCG 法(双共役勾配法ともいいう)の残差ベクトルに  $\ell$  次の MR 多項式(最小多項式ともいいう)を掛けることで残差ノルムの収束を加速させたものである。一般に、MR 多項式の次数  $\ell$  の値が大きいと残差ノルムの収束は良くなるが、余分な計算時間を必要としてしまうのが難点である。算法がブレイクダウン(破綻ともいいう)しそうになったときに、MR 多項式の次数  $\ell$  を変化させる算法が、Sleijpen と Van der Vorst<sup>[10]</sup>によって提案されているが、彼らの算法を従来の BiCGStab( $\ell$ ) 法と比較すると、残差ノルムが収束するまでに余分な計算時間を必要とすることが多い。本稿では、ブレイクダウンが起りそうなときと残差ノルムが停滞したときの両方の場合に、MR 多項式の次数  $\ell$  を変化させる算法を提案する。最後に、この新しい算法を富士通の分散メモリ型並列計算機 AP3000 に実装し数値実験を行ない、その算法の有効性について、従来の BiCGStab( $\ell$ ) 法などと比較検討を行う。

### BiCGStab( $\ell$ ) method with varying $\ell$ in adaption

KENTARO MORIYA<sup>†</sup> and TAKASHI NODERA<sup>†</sup>

BiCGStab( $\ell$ ) method is one of iterative methods to solve large and sparse nonsymmetric linear systems of equations. It stabilizes the residual norm of BiCG (bi-conjugate gradient) method by adapting  $\ell$  degree MR (minimal residual) polynomial. When the degree of MR polynomial  $\ell$  becomes larger, the convergence of residual norm will be better. However, the computational cost will be increased. Sleijpen and van der Vorst<sup>[10]</sup> proposed the BiCGStab( $\ell$ ) method with varying  $\ell$ , when a breakdown of the algorithm occurs. But original BiCGStab( $\ell$ ) method often costs effective rather than their algorithm. In this paper, it is both of when the norm of residual stagnates and the breakdown is likely to occur, the BiCGStab( $\ell$ ) method for varying  $\ell$  in adaption is proposed. At last this algorithm is implemented on the distributed memory machine Fujitsu AP3000 and the numerical examples are given.

### 1. はじめに

数理物理学や工学のあらゆる分野に現れる偏微分方程式の境界値問題を有限差分法や有限要素法で離散化すると、大型で疎な正則行列  $A$  を係数とする連立 1 次方程式

$$Ax = b \quad (1)$$

が得られる。一般に、連立 1 次方程式 (1) の解法は、未知数の消去に基づく直接法と、適当な近似解から出発して真の解に近づく反復法がある<sup>[14]</sup>。直接法は大規模な疎行列を係数とする問題では、非常に大きな容量のメモリと計算量を必要としたり、フィルイン(行列の 0 要素の場所が消去により 0 でなくなってしまう)などの問題が生じることがあるので、反復法による解法が必要不可欠となる。

非定常な反復法では、式 (1) の係数行列  $A$  が対称

な正定値行列であれば、Hestenes と Stiefel<sup>[1]</sup>による CG 法(共役勾配法ともいいう)が非常に有効な解法である。しかし、係数行列  $A$  が正則で非対称である場合には、現在さまざまな算法が提案されているが、まだ決定的に有効と呼べる反復解法は提案されていない。

Lanczos<sup>[2]</sup> と Fletcher<sup>[3]</sup> によって提案された BiCG 法(双共役勾配法ともいいう)は、行列  $A$  が非対称の場合に、疑似残差ベクトル、疑似方向ベクトル、行列  $A^T$ などを用いて、あたかも対称行列を係数とする連立 1 次方程式を CG 法によって解くようを反復解法である<sup>[4]</sup>。しかし、BiCG 法は反復の途中でしばしばブレイクダウンを起こしたり、残差ノルムが発散したり、停滞(stagnation)を起こしたりして良い精度の近似解を得られないことが多い。

BiCGStab 法は、van der Vorst<sup>[5]</sup> によって提案されたもので、BiCG 法の残差ベクトルに 1 次の MR 多項式を作用させた積型の算法である。この算法は BiCG 法の算法に比べ、良い収束性を示すことがある<sup>[5], [6]</sup>。しかし、係数行列  $A$  の固有値に関して、複素固有値

<sup>†</sup> 慶應義塾大学理工学部

Faculty of Science and Technology, University of Keio

の虚部が実部よりも相対的に大きい場合には、残差ノルムの停滞や発散が起こりやすい。それに対して Gutknecht<sup>7)</sup>は、1次のMR多項式と2次のMR多項式を反復過程で交互に適用する BiCGStab2 法を提案した。この算法は、BiCGStab 法を改良したものであるが、1次のMR多項式を適用する部分がやはり残差ノルムの収束に悪い影響を与えることがある。また、BiCGStab 法の算法に比べて内積の計算量が多いので、丸め誤差の影響を受けやすいことも難点である<sup>8)</sup>。

Sleijpen と Fokkema<sup>8),9)</sup>は、それらの算法を一般化した BiCGStab( $\ell$ ) 法<sup>8),9)</sup>を提案した。BiCGStab( $\ell$ ) 法は、BiCG 法の残差ベクトルに  $\ell$  次の MR 多項式を組み合わせることで、残差ノルムの収束性を加速させたものである。一般に、 $\ell$  が大きければ残差ノルムの収束は安定して良くなるが、直交化に要する計算量が増えてしまう。それゆえ、 $\ell$  を適切な値に決定することは非常に重要である。反復の途中で MR 多項式の次数  $\ell$  を変化させる最も簡単な手法は Sleijpen と van der Vorst<sup>10)</sup>によって提案されている。彼らの提案した算法では、BiCG 法の残差ベクトルと疑似残差ベクトルの内積が 0 に近い値をとると、ピボットブレイクダウンと呼び、MR 多項式の次数  $\ell$  を単調に増すことによって、ピボットが小さい値になることを防ぐものである。しかし、彼らの手法では、従来の BiCGStab( $\ell$ ) 法に比べて、残差ノルムの収束に要する計算時間が増加してしまうこともある。

本稿では、ブレイクダウンを起こしそうなときと、残差ノルムが停滞するときの両方に、MR 多項式の次数  $\ell$  を適切な値に変化させ、BiCGStab( $\ell$ ) 法の残差ノルムの収束を向上させる方法を提案する。

第 2 節では、BiCG 法、BiCGStab( $\ell$ ) 法の算法を簡単に述べ、その特徴や性質などについて示す。第 3 節では、MR 多項式の次数  $\ell$  を変化させる方法について述べる。第 4 節では、第 3 節で提案した MR 多項式の次数  $\ell$  を変化させる BiCGStab( $\ell$ ) 法を AP3000 上に実装し、従来の BiCGStab( $\ell$ ) 法<sup>8),10)</sup>と比較し、その数値実験の結果を示す。第 5 節では、実験結果について比較検討を行ない結論を述べることにする。

## 2. BiCG 法と BiCGStab( $\ell$ ) 法について

この節では BiCG 法と BiCGStab( $\ell$ ) 法の算法の特徴について簡単に述べる。

### 2.1 BiCG 法

BiCG 法は、残差ベクトル、疑似残差ベクトル、探索ベクトル、疑似探索ベクトルのそれぞれ四つの漸化式によって構成されている。図 1 に BiCG 法の実装について示す。ここで、 $r_k$ 、 $u_k$  が残差ベクトルおよび探索ベクトルであり、 $\bar{r}_k$ 、 $\bar{u}_k$  が疑似残差ベクトルおよび疑似探索ベクトルである。係数  $\alpha_k$ 、 $\beta_k$  については、残差ベクトルが双直交で、かつ探索ベクトルが双共役

```

k = 0
choose x0
compute r0 = b - Ax0
take r̄0 = r0, u0 = ū0 = 0, ρ0 = 1

repeat until || r_k || is small enough
for k = 1, 2, 3, ...
    pk = (r_k, r̄k), βk = -ρk / ρk-1
    uk = rk - βk-1 uk-1
    ūk = r̄k - βk-1 ūk-1
    γk = (Au_k, ū_k), αk = ρk / γk
    x_{k+1} = x_k + α_k u_k
    r_{k+1} = r_k - α_k A u_k
    r̄_{k+1} = r̄k - α_k A^t ū_k
endfor

```

図 1 BiCG 法  
Fig. 1 BiCG method

になるように定めている。疑似残差ベクトルと疑似探索ベクトルの漸化式を導入することで、行列  $A$  が非対称であっても見かけ上は対称行列を係数にもつ建立 1 次方程式を CG 法で解くような算法である。したがって、非常に簡単な算法で計算量も少なくてすむが、しばしば残差ノルムの停滞や発散が生じる。また、図 1 におけるスカラ  $\rho_k$  や  $\gamma_k$  が 0 に近い値をとるとブレイクダウンを起こすことも知られている。これらの欠点のいくつかを改善するために、 $\ell$  次の MR 多項式を用いることによって、BiCG 法の残差ノルムの収束を加速する積型の算法が次に述べる BiCGStab( $\ell$ ) 法である。

### 2.2 BiCGStab( $\ell$ ) 法

BiCG 法を  $\ell$  回反復させることで得られた残差ベクトルと  $\ell$  次の MR 多項式との積をつくり、この新たな残差ノルムを局所的に最小にする算法が BiCGStab( $\ell$ ) 法である。一般に、 $k = \ell + ml$  (ただし、 $m$  は非負の整数) のとき  $k$  回目における BiCGStab( $\ell$ ) 法の残差ベクトルは

$$r_k = p_m(A)q_{m\ell}(A)\tilde{r}_k \quad (2)$$

とおくことができる。ただし、

$$q_{m\ell}(A) = p_{m-1}(A)p_{m-2}(A)\dots p_0(A) \quad (3)$$

であり、 $\tilde{r}_k$  は  $k$  回目の反復における BiCG 法の残差ベクトルとする。また、 $p_i(A)$  ( $1 \leq i \leq m$ ) はいずれも  $\ell$  次の MR 多項式である。ここでは BiCGStab( $\ell$ ) 法の詳しい説明は省略するが、詳細は文献<sup>8),9)</sup>を参照してほしい。

## 3. $\ell$ を変化させる方法

本節では、BiCGStab( $\ell$ ) 法で用いる MR 多項式の次数  $\ell$  を変化させる方法について提案する。

### 3.1 ピボットによる $\ell$ の変化法

BiCG 法や BiCGStab( $\ell$ ) 法において、算法が不安定になってブレイクダウンを起こす原因となるのは、

残差ベクトルと疑似残差ベクトルの内積が 0 に近い値をとることである。これは多項式の最大次の係数が小さくなったり、誤差が大きくなるためである<sup>10)</sup>。したがって、この値が小さくなったときに、MR 多項式の次数  $\ell$  を増加させて算法を安定させればよい。この算法は Sleijpen と van der Vorst<sup>10)</sup> で提案されており、算法の詳細はそちらの文献を参照してほしい。ここでは実装方法についてのみ示すことにする。

まず、BiCGStab( $\ell$ ) 法の初期残差ベクトルと  $k$  回目の反復における残差ベクトルの内積を正規化したものとビボットと定義し、次のように表すこととする。

$$\sigma_k = (r_k, r_0) / (\|r_k\| \cdot \|r_0\|) \quad (4)$$

このビボット  $\sigma_k$  は、BiCG 法の残差ベクトルと疑似残差ベクトルの内積を正規化したものと同値である。MR 多項式の次数  $\ell$  は最初 1 に設定して反復を行い、 $\sigma_k \leq \varepsilon$  かつ  $\ell \leq \ell_{max}$  なら  $\ell$  を 1 ずつ増やしていく。ただし、 $\ell_{max}$  は  $\ell$  のとりうる最大値である。 $\varepsilon$  は計算機の誤差限界の  $1/2$  乗をとる値である。これは、内積計算で 2 乗を計算したときに、誤差限界が約  $1/2$  乗になるためである。例えば Sun の sparc チップを搭載したワークステーションなどのように、倍精度の浮動小数点演算が 64 ビットで行われる計算機であるなら、誤差限界はほぼ  $O(10^{-16})$  であるから、 $\varepsilon$  の値としては  $1.0 \times 10^{-8}$  の前後が妥当な値である。

本稿ではこのような算法を取り入れた BiCGStab( $\ell$ ) 法を P-BiCGStab(1 :  $\ell_{max}$ ) 法と記述する。

### 3.2 残差ノルム停滞時の $\ell$ の変化法

連立一次方程式における係数行列の条件数が悪いと、残差ノルムが停滞して収束するのが遅くなることがある。そのような場合に  $\ell$  を一時的に大きな値にして、残差ノルムの停滞が終ったらまた元の数値に戻すことを考える。具体的には、最初に  $\ell = \ell_{min}$  と決め、通常はこの値を使って BiCGStab( $\ell$ ) 法の反復を行う。そして、ある一定の反復回数において残差ノルムの値に変化がみられないときに、停滞とみなして  $\ell$  を最大値  $\ell = \ell_{max}$  にあげる。そして、残差ベクトルの停滞を回避できたら、また元の  $\ell = \ell_{min}$  の値に戻して反復を続ける。

残差ノルムの停滞を判定する基準としては、

$$\frac{|\|r_k\| - \|r_{k-\ell}\||}{\|r_k\|} < \delta \quad (5)$$

を利用する。式(5)の左辺は、 $k$  回目と  $k-\ell$  回目の反復における BiCGStab( $\ell$ ) 法の相対残差ノルムを表し、これが  $\delta$  よりも小さくなったら、残差ノルムに変化がないと判定する。そして、式(5)を連続してある一定の回数だけ満たしたら、残差ノルムの停滞とみなして  $\ell$  を変化させる。そして、(5)式の左辺の相対残差ノルムの値が右辺の  $\delta$  よりも再び大きくなったらまた  $\ell = \ell_{min}$  に戻す。

### 3.3 ハイブリッド法

我々が本稿で提案する方法は、3.1 節と 3.2 節で述

```
wk = | \|rk\| - \|rk-ell\| | / \|rk\|
sigma_k = (rk, r0) / (\|rk\| \|r0\|)

if wk < delta and ell = ell_min then
    count = count + 1
endif
if wk > delta and ell = ell_min then
    count = 0
endif

if count = stag and ell = ell_min then
    ell = ell_max
endif
if sigma_k < epsilon and ell = ell_min then
    ell = ell_max
endif
if wk > delta and ell = ell_max and sigma_k > epsilon then
    ell = ell_min, count = 0
endif
```

図 2 ブレイクダウンと残差ノルム停滞による  $\ell$  の変化法

Fig. 2 BiCGStab( $\ell$ ) method varying  $\ell$   
in adaption by the breakdown and  
the stagnation of residual norm

べた方法を組み合わせて利用することである。つまり、ビボットのブレイクダウンと残差ノルムの停滞の両方の要因から  $\ell$  を変化させることを考える。ただし、本稿ではビボットがブレイクダウンしたときの  $\ell$  の変化法は、3.1 節で述べた手法では行なわず、次に述べる方法で行うものとする。まず最初に、 $\ell$  の通常値を  $\ell_{min}$  としておいて、ブレイクダウンを起こしたときに  $\ell$  を  $\ell_{max}$  に変化させる。そして、ブレイクダウンが回避できたら、 $\ell$  をまた  $\ell_{min}$  に戻す。つまり、 $\sigma_k > \varepsilon$  のときは  $\ell = \ell_{min}$  とし、 $\sigma_k < \varepsilon$  のときは  $\ell = \ell_{max}$  とする。このようなブレイクダウンによる  $\ell$  の変化法と 3.2 節で述べた残差ノルムの停滞時における  $\ell$  の変化法とを組み合わせて利用する。両方を組み合わせた方法を図 3.3 に示す。

図 3.3 における変数  $count$  は残差ノルムが変化しない回数を数えるパラメータである。連続で  $w_k < \delta$  を満たすとき  $count$  は増加する。そして、 $count = stag$  になったときに残差ノルムの停滞とみなして  $\ell = \ell_{max}$  とする。また、ブレイクダウンを起こしそうなとき、つまり  $\sigma_k < \varepsilon$  となるときにも  $\ell = \ell_{max}$  とする。そして、 $w_k > \delta$  かつ  $\sigma_k > \varepsilon$  となって、残差ノルムの停滞とブレイクダウンのいずれも回避できたら、また元の  $\ell = \ell_{min}$  に戻す。

以下に述べる事柄は、次節の数値実験において数値例 2 から経験的に得られたものである。野寺、野口<sup>9),11)</sup>によると、多くの問題において、残差ノルムの収束に要する計算時間が短くなるのは  $\ell = 2$  のときなので、 $\ell_{min}$  の値としては 2 が最適である。また、 $\delta$  は 0.1 の前後が適切であり、残差ノルムの停滞の判定

回数については、5回から20回まで5ずつ変化させたところ15回がもっとも適切であった。なお、残差ノルムの適切な停滯判定回数に関しては、次節の数値実験でも示すこととする。

本稿では、このような新しいBiCGStab( $\ell$ )法のことをPSR-BiCGStab( $\ell_{min} : \ell_{max}$ )法のように記述する。MR多項式の次数 $\ell$ の通常値が $\ell_{min}$ であり、 $\ell$ を変化させる最大の値が $\ell_{max}$ である。

#### 4. 数値実験

数値実験はすべて富士通の分散メモリ型並列計算機AP3000(セル台数16個)によって行った。

また、PSR-BiCGStab( $\ell_{min} : \ell_{max}$ )法に関しては、 $\ell$ の通常の値 $\ell_{min}$ を2に設定して、残差ノルムが停滞したときに、それぞれ4, 6, 8に変化させる方法の三通りについて数値実験を行った。これらの算法を従来のBiCGStab法、BiCGStab(2)法、BiCGStab(4)法及びP-BiCGStab(1:2)法、P-BiCGStab(1:4)法と比較した。

なお、とくに指定がない限り数値実験の条件は以下のとおりである。

- 収束条件:  $\|r_k\| / \|r_0\| < 1.0 \times 10^{-12}$
- 最大反復回数: 6000回
- 初期近似解:  $x_0 = [0, 0, \dots, 0]^T$
- 計算精度: 倍精度
- $\epsilon : 1.0 \times 10^{-8}$
- $\delta : 0.1$
- 残差ノルムの停滯判定回数: 15回
- 時間計測: 各実験について5回計測を行い、それらの平均値を採用した。

計算結果は、収束条件を満たすまでにかかった時間と反復回数を示し、最大反復回数内で収束しなかった場合については、“...”と記述した。また、反復回数はクリオフ部分空間が一つ進むことを一回の反復と数えることとする。例えば、BiCGStab(4)法は、BiCGStab法の反復を4回行なったと数える。

#### [数値例 1]

正方領域 $\Omega = [0, 1] \times [0, 1]$ における2階の偏微分方程式の境界値問題を考える<sup>12)</sup>。

$$-u_{xx} - u_{yy} + Du_x = f(x, y)$$

$$u(x, y)|_{\partial\Omega} = 1 + xy$$

ただし、厳密解を $u(x, y) = 1 + xy$ と定め、メッシュ幅を $h = 1/257$ として、5点中心差分を用いて離散化した。表1に結果を示す。P-BiCGStab(1:  $\ell_{max}$ )法に関しては、 $\ell_{max}$ が2のときでも4のときでも、係数 $Dh$ が $2^{-2}$ から $2^1$ の場合は、BiCGStab法と比べて計算時間がほぼ同じか、もしくは1割から3割程度増えてしまった。係数 $Dh$ が $2^2$ の場合にもBiCGStab(2)法と比べて計算時間が2割から3割程度増大してしまった。それに対して、PSR-BiCGStab( $\ell_{min} : \ell_{max}$ )法

では、 $\ell_{max}$ の値が4のときに、計算時間はもっとも短縮された。係数 $Dh$ に関しては $2^{-2}, 2^{-1}, 2^0$ の場合、PSR-BiCGStab(2:4)法はBiCGStab法と比べて計算時間が1割ほど短縮された。そして、この数値例において、PSR-BiCGStab( $\ell_{min} : \ell_{max}$ )法による計算時間短縮の効果がもっとも大きかったのは、係数 $Dh$ が $2^1$ のときであり、PSR-BiCGStab(2:4)法はBiCGStab法に比べて計算時間が3割ほど短縮された。その様子を図3に示す。係数 $Dh$ が $2^2$ のとき、計算時間はBiCGStab(2)法が一番短かったが、PSR-BiCGStab(2:4)法が、BiCGStab(2)法に比べて極端に計算時間が長くなることもなかった。

#### [数値例 2]

正方領域 $\Omega = [0, 1] \times [0, 1]$ における2階の偏微分方程式の境界値問題を考える<sup>12)</sup>。

$$\begin{aligned} -u_{xx} - u_{yy} + D\{(y - 1/2)u_x \\ + (x - 2/3)(x - 1/3)u_y\} = f(x, y) \end{aligned}$$

$$u(x, y)|_{\partial\Omega} = 1 + xy$$

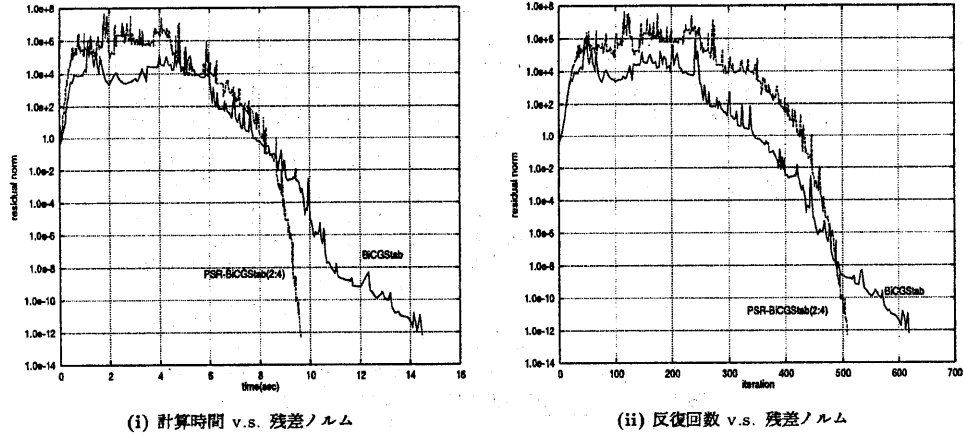
ただし、数値例1同様、厳密解を $u(x, y) = 1 + xy$ と定め、メッシュ幅を $h = 1/257$ として、5点中心差分を用いて離散化した。結果を表2に示す。まず、P-BiCGStab(1:2)法とP-BiCGStab(1:4)法についてだが、係数 $Dh$ がいずれの場合もBiCGStab法と比べて計算時間が短縮されることではなく、逆に最大で3割近く増大してしまった。PSR-BiCGStab( $\ell_{min} : \ell_{max}$ )法の $\ell_{max}$ の値は数値例1と同様4のときに一番計算時間が短縮された。係数 $Dh$ が $2^2$ のときを除いて、PSR-BiCGStab(2:4)法に関しては、BiCGStab法に比べると計算時間が1割程度しか短縮されず、顕著な違いはみられなかった。また、係数 $Dh$ が $2^2$ のときは、BiCGStab(2)法における計算時間が一番短く、PSR-BiCGStab( $\ell_{min} : \ell_{max}$ )法による計算時間を短縮する効果は得られなかった。しかし、これも数値例1同様、PSR-BiCGStab(2:4)法における計算時間が、BiCGStab(2)法における計算時間と比べて極端に増大することもなかった。

#### [数値例 3]

数値例2について、PSR-BiCGStab( $\ell_{min} : \ell_{max}$ )法における適切な残差ノルムの停滯判定回数を調べる実験を行った。残差ノルムの停滯判定回数を5回ずつ増やして、5回から20回の4通りについて行った。その結果を表3に示す。この表3より、多くの場合、収束に要する時間が一番短くなるのは、残差ノルムの停滯回数が15回のときであった。それゆえ、今回の数値実験では、残差ノルムの停滯回数を15回と設定した。

#### 5. 終りに

提案した算法に関して、数値実験をAP3000で行った結果について比較検討を行なった。P-BiCGStab(1:



(i) 計算時間 v.s. 残差ノルム

(ii) 反復回数 v.s. 残差ノルム

図 3 数値例 1 に関する残差ノルムの収束する様子 ( $Dh = 2^1$ )Fig. 3 The convergence behavior of residual norm for the numerical example 1 ( $Dh = 2^1$ )

表 1 数値例 1 の結果 (sec: 時間(秒), iter: 反復回数)

Table 1 Numerical results of the example 1 (sec: Computational time, iter: iteration count)

$Dh$	$2^{-2}$		$2^{-1}$		$2^0$		$2^1$		$2^2$	
	sec	iter	sec	iter	sec	iter	sec	iter	sec	iter
BiCGStab	10.101	444	9.938	458	11.866	554	14.854	618	22.679	1055
BiCGStab(2)	10.001	446	12.379	516	13.640	568	16.278	600	12.207	562
BiCGStab(4)	11.497	480	13.009	536	13.819	566	19.702	580	14.552	564
P-BiCGStab(1:2)	10.276	451	11.340	473	16.679	519	12.870	573	17.918	653
P-BiCGStab(1:4)	12.120	442	12.467	488	15.415	578	16.353	628	14.877	558
PSR-BiCGStab(2:4)	9.180	476	8.970	473	9.789	504	9.932	508	13.441	566
PSR-BiCGStab(2:6)	9.089	434	9.869	456	10.539	496	12.673	590	16.055	628
PSR-BiCGStab(2:8)	10.679	444	12.235	476	14.582	564	14.355	580	17.389	598
< PSR-BiCGStab( $\ell_{min} : \ell_{max}$ ) 法の $\ell$ の変化回数 >										
PSR-BiCGStab(2:4)	21		33		47		82		81	
PSR-BiCGStab(2:6)	16		25		31		68		64	
PSR-BiCGStab(2:8)	15		19		22		45		45	

表 2 数値例 2 の結果 (sec: 時間(秒), iter: 反復回数)

Table 2 Numerical results of the example 2 (sec: Computational time, iter: iteration count)

$Dh$	$2^{-2}$		$2^{-1}$		$2^0$		$2^1$		$2^2$	
	sec	iter	sec	iter	sec	iter	sec	iter	sec	iter
BiCGStab	20.618	942	22.811	1030	26.558	1238	30.937	1476	39.057	1984
BiCGStab(2)	21.504	914	22.848	1014	28.368	1244	31.700	1478	39.666	1896
BiCGStab(4)	23.367	966	24.940	1062	30.628	1272	35.478	1530	48.191	1892
P-BiCGStab(1:2)	21.598	919	24.238	1079	28.117	1261	33.618	1469	43.916	1919
P-BiCGStab(1:4)	25.102	938	28.205	1028	32.395	1258	39.344	1502	48.156	1860
PSR-BiCGStab(2:4)	19.089	947	21.539	1084	24.880	1285	28.768	1475	41.697	1930
PSR-BiCGStab(2:6)	20.478	964	21.639	1022	25.899	1256	31.057	1456	43.976	1892
PSR-BiCGStab(2:8)	23.603	940	25.501	1028	31.596	1220	38.214	1488	45.617	1960
< PSR-BiCGStab( $\ell_{min} : \ell_{max}$ ) 法の $\ell$ の変化回数 >										
PSR-BiCGStab(2:4)	56		52		50		42		111	
PSR-BiCGStab(2:6)	37		34		41		27		71	
PSR-BiCGStab(2:8)	29		28		35		29		50	

$\ell_{max}$ ) 法に関しては、従来の BiCGStab( $\ell$ ) 法に比べて計算時間はほぼ同じか、悪いときで約 3 割程度増大してしまうことが数値例 1, 2 を通じて確認された。一方、本稿で我々が提案した PSR-BiCGStab( $\ell_{min} : \ell_{max}$ ) 法は、数値例 1, 2 を通じて、多くの場合  $\ell_{min} = 2$ ,  $\ell_{max} = 4$  のときに計算時間がもっとも短縮されるということが確認された。また、数値例 1 に関しては、

従来の BiCGStab( $\ell$ ) 法と比べて、計算時間は少なくとも 1 割、最大で 3 割近く短縮された。それに対して、数値例 2 では計算時間は短縮されず、特に顕著な違いはみられなかった。しかし、P-BiCGStab(1 :  $\ell_{max}$ ) 法のように、従来の BiCGStab( $\ell$ ) 法に比べて計算時間が極端に遅くなることはなかった。したがって、計算時間は最悪でも従来の BiCGStab( $\ell$ ) 法と同じであ

表3 数値例2における適切な停滞判定回数  
Table 3 The appropriate judgement of iteration counts for the stagnation of residual norm

Dh		2^-2		2^-1		2^0	
算法	停滞判定回数	sec	iter	sec	iter	sec	iter
PSR-BiCGStab(2:4)	5	20.142	908	22.318	982	27.408	1260
	10	19.146	912	21.736	1012	26.354	1214
	15	19.089	947	21.539	1084	24.860	1285
	20	21.208	928	22.430	1028	27.306	1292
PSR-BiCGStab(2:6)	5	22.634	928	23.498	1002	28.579	1264
	10	21.986	942	22.348	984	27.673	1246
	15	20.478	964	21.639	1022	25.899	1256
	20	21.970	928	24.309	1058	28.422	1276
PSR-BiCGStab(2:8)	5	24.215	908	24.749	1026	31.958	1278
	10	23.999	946	26.062	1064	29.149	1278
	15	23.603	940	25.501	1028	31.596	1220
	20	24.768	944	25.418	1046	29.842	1274

Dh		2^1		2^2	
算法	停滞判定回数	sec	iter	sec	iter
PSR-BiCGStab(2:4)	5	30.642	1448	41.888	1896
	10	32.017	1480	41.920	1924
	15	28.768	1475	41.697	1930
	20	30.179	1434	41.936	1920
PSR-BiCGStab(2:6)	5	34.249	1502	43.956	1916
	10	31.967	1464	44.302	1922
	15	31.057	1456	43.976	1892
	20	32.629	1496	43.457	1912
PSR-BiCGStab(2:8)	5	39.542	1564	46.587	1920
	10	34.803	1340	46.007	1984
	15	38.214	1488	45.617	1960
	20	34.257	1462	46.017	1944

り、問題によっては短縮されると期待することができる。それゆえ、従来のBiCGStab( $\ell$ )法よりも我々の提案した算法のブレイクダウンや残差ノルムの停滞に対応した $\ell$ を適応的に変化させるPSR-BiCGStab( $\ell_{min}$  :  $\ell_{max}$ )法を利用するほうが望ましい。

## 参考文献

- Hestens, M. R. and Stiefel, E.: Methods of conjugate gradients for solving linear systems, *J. Res. Nat. Bur. Standards*, Vol. 49, pp. 409-435 (1952).
- Lanczos, C.: Solution of systems of linear equations by minimize iteration, *J. Res. Nat. Bur. Standard*, Vol. 49, pp. 33-53 (1952).
- Fletcher, R.: Conjugate gradient methods for indefinite systems, *Lecture Notes in Math.*, Vol. 506, pp. 73-89 (1976).
- Nodera, T.: New variant of BiCG method for solving non-symmetric systems, *Advances in Computer methods for Partial Differential Equations*, IMACS, Vol. 6, pp. 130-135 (1987).
- van der Vorst, H. A.: Bi-CGSTAB: A fast and smoothly converging variant of Bi-CG for the solution of non-symmetric linear systems, *SIAM J. Sci. Stat. Comput.*, Vol. 13, pp. 631-644 (1992).
- Nodera, T.: A note on BiCGStab algorithm, *SANUM*, Vol. 18, pp. 157-166 (1992).
- Gutnecht, M. H.: Variants of BiCGStab for matrices with complex spectrum, *SIAM J. Sci. Comput.*, Vol. 14, pp. 1020-1033 (1993).
- Sleijpen, G. L. G. and Fokkema, D. R.: BiCGStab( $\ell$ ) for linear equations involving unsymmetric matrices with complex spectrum, *ETNA*, Vol. 1, pp. 11-32 (1993).
- 野寺, 野口: AP1000におけるBiCGStab( $\ell$ )法の有効性について, 情報処理学会論文誌, Vol. 38, No. 11, pp. 2089-2101 (1997).
- Sleijpen, G. L. G. and van der Vorst, H. A.: An overview of approaches for the stable computation of hybrid BiCG methods, *Appl. Numer. Math.*, Vol. 19, pp. 235-254 (1995).
- Nodera, T. and Noguchi, Y.: A note on the BiCGStab( $\ell$ ) method on AP1000, IMACS Lecture Notes on Computer Science (1998), to appear.
- Joubert, W.: Lanczos methods for the solution of nonsymmetric systems of linear equations, *SIAM J. Matrix. Anal. Appl.*, Vol. 13, No. 3, pp. 928-943 (1992).
- Weiss, R.: Properties of Generalized Conjugate Gradient Methods, *Numer. Lin. Alg. Appl.*, Vol. 1, No. 1, pp. 45-63 (1994).
- Bruaset, A. M.: A survey of Preconditioned Iterative Methods, Pitman Research Note in Mathematics, No. 32, Longman Scientific & Technical, U. K (1995).